

НЕКОТОРЫЕ ЗАДАЧИ ПО ТЕОРИИ ПОЛЯРИЗАЦИОННОГО ДАТЧИКА

Ю. В. Лисицын, В. Н. Минеев, Е. З. Новицкий  
(Москва)

Рассматриваются следующие задачи: о заряде в поляризационном датчике, включенном на емкостную нагрузку; о процессах релаксации в цепи датчика после прохождения ударной волны по образцу; о поляризационном токе через датчик, в котором существуют два механизма поляризации. Показана возможность определения всех искомым параметров ударно сжатого диэлектрика посредством измерений в цепях короткозамкнутого поляризационного датчика и датчика, нагруженного на емкость. Учет двух механизмов поляризации приводит к решению, качественно описывающему ряд экспериментальных фактов.

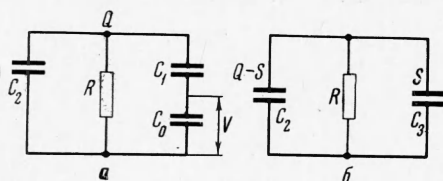
В последние годы поляризация диэлектриков в ударных волнах (в дальнейшем просто волна) стала объектом тщательного изучения, которое идет по трем направлениям: расширение класса исследуемых веществ, феноменологическое описание экспериментальных результатов, выяснение физической природы наблюдаемых явлений.

Существующие феноменологические теории [1-5] связывают плотность тока  $j$  в измерительной цепи с удельным объемным сопротивлением  $\rho$ , диэлектрической проницаемостью  $\epsilon$ , удельной поляризацией  $P_0$ , временем ее распада (механической релаксацией)  $\tau$  и сжатием вещества  $\delta$  за фронтом волны. В теориях предполагается существование одного механизма поляризации, изотропность диэлектрика. Сложность полученных решений затрудняет однозначное определение  $P_0$ ,  $\epsilon$ ,  $\rho$  и  $\tau$  без привлечения дополнительных, специально поставленных измерений, скажем,  $\rho$  и (или)  $\epsilon$ .

Существование аномалии в ходе зависимости  $P_0$  ( $\delta$ ) и изменение знака  $j$  в процессе распространения волны по веществу (переполусовка) не поддаются математическому описанию в рамках перечисленных теорий и указывают на возможность существования нескольких механизмов поляризации с разными значениями  $P_0$  и  $\tau$ . В данной работе такой подход развивается для случая двух механизмов.

Вообще говоря, все рассматриваемые здесь решения могут быть получены как следствия теории Зайделя [5] при определенных частных предположениях. Однако для того чтобы придать наглядность производимым операциям, целесообразно использовать представления о поляризационном датчике, как о некоей эквивалентной электрической цепи [2,4].

**1. Поляризационный датчик с емкостной нагрузкой.** Задачу будем решать в тех же предпосылках, что и в [4], а именно фронт волны, движущийся с волновой скоростью  $D$ , разделяет диэлектрик с начальной толщиной  $l_0$  на две области — сжатого и несжатого вещества (соответствующие



Фиг. 1

характеристики:  $\epsilon_2$ ,  $\rho$ ,  $\delta$ ,  $u$  — массовая скорость и  $\epsilon_1$ ,  $\rho_1 = \infty$ ,  $u = 0$ ); вещество за и перед фронтом волны изотропно; диэлектрик поляризуется на фронте до величины  $P_0$  по или против направления движения вещества; ввиду одномерности задачи фронт волны является эквипотенциальной поверхностью, как и любая другая, ему параллельная.

**Постановка задачи.** Представим диэлектрик, подвергнутый ударному сжатию, электрической схемой на некоторый момент времени  $t$  так, как показано на фиг. 1,а. Согласно [4] запишем

$$C_1 = \frac{\alpha_1}{T-t}, \quad C_2 = \frac{\alpha_2}{t}, \quad R = \frac{\rho Dt}{\delta} \tag{1.1}$$

(Выкладки повсюду проводятся для единицы поверхности фронта ударной волны).

$$\left( \kappa_1 = \frac{\varepsilon_1}{4\pi D}, \quad \kappa = \frac{\varepsilon_2 \delta}{\varepsilon_1}, \quad T = \frac{I_0}{D}, \quad \delta = \frac{D}{D-u} \right)$$

Используя эти выражения, найдем напряжение  $V$  на нагрузке  $C_0$

$$V = \frac{Q}{C_0} \frac{t}{(\kappa + \gamma)T + (1 - \kappa)t} \quad \left( \gamma = \frac{C}{C_0}, \quad C = \alpha_1 \kappa T^{-1} \right) \quad (1.2)$$

Здесь  $Q$  — величина полного заряда в системе фиг. 1, а, который необходимо найти,  $C$  — емкость полностью сжатого диэлектрика. Для удобства преобразуем цепь фиг. 1, а к схеме фиг. 1, б. При этом

$$C_3 = C_1 C_0 (C_1 + C_0)^{-1}$$

*Решение задачи.* Величина заряда, распределенного между  $C_2$  и  $C_3$  так, как показано на фиг. 1, б, определяется следующими процессами: ударной поляризацией, механической релаксацией ( $\tau$ ), проводимостной релаксацией ( $\theta = \rho \varepsilon_2 / 4\pi$ ). Изменение заряда  $dQ$  за время  $dt$  может быть переписано из [4] (формула (14))

$$dQ / dt = t^{-1} [P_0 \exp(-t/\tau) - Q] - \theta^{-1} (Q - S) \quad (1.3)$$

Равенство напряжений на конденсаторах  $C_2$  и  $C_3$  дает

$$S = Q \frac{t}{(\kappa + \gamma)T + (1 - \kappa)t} \quad (1.4)$$

Исходное дифференциальное уравнение (1.3) после подстановки (1.4) принимает вид

$$-\frac{dQ}{dt} + Q \left[ \frac{1}{t} + \frac{1}{\theta} \frac{(\kappa + \gamma)T - \kappa t}{(\kappa + \gamma)T + (1 - \kappa)t} \right] = \frac{P_0}{t} \exp\left(-\frac{t}{\tau}\right) \quad (1.5)$$

Его решение с начальными условиями  $Q = P_0$  при  $t = 0$  приводит к

$$Q = P_0 \frac{\exp(t/\nu)}{t [(\kappa + \gamma)T + (1 - \kappa)t]^\omega} \int_0^t \frac{\exp(-t/\mu)}{[(\kappa + \gamma)T + (1 - \kappa)t]^{-\omega}} dt \quad (1.6)$$

$$\left( \nu = \frac{1 - \kappa}{\kappa} \theta, \quad \mu = \frac{\tau \theta (1 - \kappa)}{\theta + \kappa(\tau - \theta)}, \quad \omega = \frac{T}{\theta} \frac{\kappa + \gamma}{(1 - \kappa)^2} \right)$$

Простыми алгебраическими действиями в [4] можно показать, что заряд системы в цепи короткозамкнутого поляризационного датчика есть

$$Q = P_0 \frac{\exp(t/\nu)}{t [\kappa T + (1 - \kappa)t]^\varphi} \int_0^t \frac{\exp(-t/\mu) dt}{[\kappa T + (1 - \kappa)t]^{-\varphi}}, \quad \varphi = \frac{T\kappa}{\theta(1 - \kappa)^2} \quad (1.7)$$

Это выражение — частный случай (1.6) для  $C_0 \gg C$  ( $\gamma \gg 1$ ,  $\kappa \approx 1$ ).

Если проводимость вещества за фронтом волны мала, то величина  $Q$  есть связанный заряд системы  $Q_\infty$ . Он может быть получен решением дифференциального уравнения (1.5) при  $\theta \gg T$ .

$$Q_\infty = \frac{P_0 \tau}{t} [1 - \exp(-t/\tau)] \quad (1.8)$$

Подставляя (1.6) в (1.2), получаем в общем случае

$$V = \frac{P_0}{C_0} \frac{\exp(t/\nu)}{[(\kappa + \gamma)T + (1 - \kappa)t]^{\omega+1}} \int_0^t \frac{\exp(-t/\mu)}{[(\kappa + \gamma)T + (1 - \kappa)t]^{-\omega}} dt \quad (1.9)$$

а при отсутствии проводимости за фронтом волны

$$V = \frac{P_0 \tau}{C_0} \frac{1 - \exp(-t/\tau)}{(\kappa + \gamma)T + (1 - \kappa)t} \quad (1.10)$$

**2. Релаксационные процессы в цепи поляризационного датчика.** Найдем величину заряда в системе фиг. 1, б для тех случаев, когда волна выходит из исследуемого вещества на измерительный электрод без отражения. Рассматривать будем времена  $t \geq T$ . Обозначим  $t' = t - T$  и  $Q_{t=T} = Q^\circ$ . Очевидно,  $Q^\circ$  равно  $Q$  при  $t' = 0$ .

Все параметры цепи фиг. 1, б постоянны. Так

$$C_2 = C = \alpha_1 \kappa T^{-1}, \quad R = \rho I_0 \delta^{-1}, \quad C_3 = C_0$$

Зависимость от времени  $t'$  сохраняет лишь заряд  $Q$ , который будет распадаться вследствие существования релаксационных процессов, причем с временем  $\tau$  будет распадаться только часть полного заряда — связанный заряд  $Q_\infty$ , а с временем  $\theta$  — весь заряд системы  $Q$ .

Величина связанного заряда на момент  $t' = 0$  ( $Q_\infty^\circ$ ) определяется из (1.8)

$$Q_\infty^\circ = \tau P_0 T^{-1} [1 - \exp(-T/\tau)] \quad (2.1)$$

Тогда  $Q_\infty$  при  $t' > 0$

$$Q_\infty = Q_\infty^\circ \exp(-t'/\tau)$$

и убыль  $Q_\infty$  — соответственно

$$dQ_1 = -Q_\infty^\circ \tau^{-1} \exp(-t'/\tau) dt' \quad (2.2)$$

Убыль зарядов за счет проводимости вещества за фронтом волны есть

$$dQ_2 = -\frac{V}{R} dt' = -\frac{Q dt'}{R(C+C_0)} = -\frac{\gamma Q dt'}{\theta(1+\gamma)} \quad (2.3)$$

Суммируя (2.2) и (2.3), получаем дифференциальное уравнение

$$\frac{dQ}{dt'} + Q \frac{\gamma}{\theta(1+\gamma)} = -Q_\infty^\circ \tau^{-1} \exp(-t'/\tau) \quad (2.4)$$

Решение (2.4) с начальными условиями

$$Q^\circ = P_0 T^{-1} \frac{\exp(T/\nu)}{[T(1+\gamma)]^\omega} \int_0^T \frac{\exp(-t/\mu) dt}{[(\kappa + \gamma)T + (1 - \kappa)t]^{-\omega}} \quad (2.5)$$

при  $t' = 0$  дает

$$Q = Q_\infty^\circ \frac{m}{\tau - m} \exp \frac{-t'}{m} \left\{ 1 - \exp \left[ t' \left( \frac{1}{m} - \frac{1}{\tau} \right) \right] \right\} + \frac{Q^\circ}{Q_\infty^\circ} \frac{\tau - m}{m} \left( m = \frac{\theta(C+C_0)}{C} \right) \quad (2.6)$$

Тогда

$$V = Q(C+C_0)^{-1}$$

Проведем краткий анализ полученного выражения.

При  $C_0 \rightarrow \infty$  (что отвечает условию короткозамкнутой цепи) и  $\theta$ , отличном от нуля, из (2.6) следует:

$$Q = Q^\circ - Q_\infty^\circ [1 - \exp(-t'/\tau)] \quad (2.7)$$

Производная (2.7) по  $t'$  дает значение тока релаксации

$$j_+ = -Q_\infty^\circ \tau^{-1} \exp(-t'/\tau)$$

или после подстановки  $Q_\infty^\circ$  из (2.1)

$$j_+ = -P_0 T^{-1} [1 - \exp(-T/\tau)] \exp(-t'/\tau) \quad (2.8)$$

что совпадает с решением В. В. Якушева, О. К. Розанова, А. Н. Дремина [6], полученного в рамках теории Аллисона [1], не учитывающей проводимость вещества за фронтом волны, и означает, что спад тока в короткозамкнутой цепи поляризационного датчика определяется только временем релаксации  $\tau$ .

Начальный ток  $j_0$ , возникающий в момент входа ударной волны в испытуемый образец, не зависит от релаксационных процессов [4] и определяется выражением  $j_0 = P_0 (\kappa T)^{-1}$ . При известном  $k = j_+ / j_0$  найдем значение  $\kappa$

$$\kappa = k \{ \exp(-T/\tau) - 1 \} \exp(-t'/\tau)^{-1} \quad (2.9)$$

Если найдены  $\tau$  и  $\kappa$  согласно (2.8) и (2.9) из опытов в короткозамкнутой цепи, то легко можно найти значения

$$P_0 = j_0 \kappa T, \quad C = \alpha_1 \kappa T^{-1}$$

и  $Q_\infty$  из (2.1). Напряжение в схеме фиг. 1, б при  $t' = 0$  ( $t = T$ ) определяет заряд  $Q^\circ = V(C + C_0)$ , выражаемый (2.5). Напряжение в этой же схеме при любом  $t' > 0$  позволяет из (2.6) найти единственное теперь неизвестное  $m$ . Параметры  $\kappa$  и  $m$  содержат в себе искомые  $\epsilon_2$  и  $\rho$ .

**3. Поляризационный ток в датчике при наличии двух механизмов поляризации.** Факт аномальной поляризации в ионных кристаллах, а также изменение в некоторых случаях знака поляризационного тока в процессе прохождения волны по образцу могут быть объяснены существованием по меньшей мере двух независимых процессов поляризации с разными знаками. Каждый из этих процессов должен характеризоваться собственными значениями  $\tau$  и  $P_0$ .

Рассмотрим случай короткозамкнутой цепи. Для определенности будем полагать, что  $P_0^{(1)}$  положительно всегда, а  $P_0^{(2)}$  может приобретать как положительное, так и отрицательное значение. В дальнейших рассуждениях следуем работе [4].

Прирост заряда в системе происходит только лишь в  $C_2$  (фиг. 1, а) за счет поляризации дополнительных слоев диэлектрика

$$dQ_1 = (P_0^{(1)} \pm P_0^{(2)} - Q) t^{-1} dt \quad (3.1)$$

Уменьшение зарядов за счет механической релаксации  $dQ_2$  выразится

$$dQ_2 = -t^{-1} \{ P_0^{(1)} [1 - \exp(-t/\tau_1)] \pm P_0^{(2)} [1 - \exp(-t/\tau_2)] \} dt \quad (3.2)$$

а убыль зарядов за счет проводимости

$$dQ_3 = -(Q - S) \theta^{-1} dt \quad (3.3)$$

Здесь  $S$  — заряд, перетекающий в цепи короткозамкнутого датчика, величина которого обязана удовлетворять условию равенства напряжений

$$(Q - S) C_1 = S C_2$$

Суммируя (3.1), (3.2) и (3.3), найдем

$$\frac{dQ}{dt} = \frac{1}{t} \left\{ P_0^{(1)} \exp \frac{-t}{\tau_1} \pm P_0^{(2)} \exp \frac{-t}{\tau_2} - Q \right\} - \frac{Q - S}{\theta} dt \quad (3.4)$$

или относительно заряда  $S$

$$\begin{aligned} \frac{dS}{dt} + S \left[ \frac{1 - \kappa}{\kappa T + (1 - \kappa) t} + \frac{1}{\theta} \frac{\kappa (T - t)}{\kappa T + (1 - \kappa) t} \right] = \\ = \frac{P_0^{(1)} \exp(-t/\tau_1) \pm P_0^{(2)} \exp(-t/\tau_2)}{\kappa T + (1 - \kappa) t} \end{aligned} \quad (3.5)$$

Решение (3.5) с нулевыми начальными условиями дает возможность записать зависимость плотности поляризационного тока от времени

$$j = \frac{P_0^{(1)} \exp(-t/\tau_1)}{\kappa T + (1-\kappa)t} \left\{ 1 - \frac{\theta^{-1} \kappa (T-t) + (1-\kappa)}{[\kappa T + (1-\kappa)t]^\varphi} \times \right. \quad (3.6)$$

$$\times \exp(t/\mu_1) \int_0^t \frac{[\kappa T + (1-\kappa)t']^{\varphi-1}}{\exp(t'/\mu_1)} dt' \left. \right\} \pm \frac{P_0^{(2)} \exp(-t/\tau_2)}{\kappa T + (1-\kappa)t} \times$$

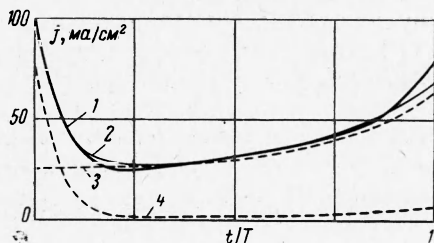
$$\times \left\{ 1 - \frac{\kappa (T-t) \theta^{-1} + (1-\kappa)}{[\kappa T + (1-\kappa)t]^\varphi} \exp(t/\mu_2) \int_0^t \frac{[\kappa T + (1-\kappa)t']^{\varphi-1}}{\exp(t'/\mu_2)} dt' \right\}$$

которое является, по существу, суперпозицией двух решений [4].

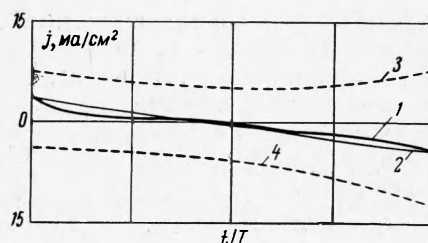
Продолжая выкладки дальше, получаем, что и ток релаксации есть суперпозиция двух решений (2.8), т. е.

$$j_+ = - \left\{ \frac{P_0^{(1)}}{T} \left[ 1 - \exp\left(-\frac{T}{\tau_1}\right) \right] \exp\left(-\frac{t}{\tau_1}\right) \pm \frac{P_0^{(2)}}{T} \left( 1 - \exp\left(-\frac{T}{\tau_2}\right) \right) \exp\left(-\frac{t}{\tau_2}\right) \right\}$$

Все это позволяет в новом свете оценить как результаты измерения  $\varphi$  в широком диапазоне давлений, так и трудности, возникающие при феноменологическом описании экспериментальных кривых  $J(t)$  с помощью существующих теорий.



Фиг. 2



Фиг. 3

На фиг. 2 приводятся для сравнения: экспериментальная кривая 1, полученная в опыте с NaCl при давлении на фронте волны 100 кбар,  $T = 0.825$  мксек; расчетная кривая 2, полученная суперпозицией кривой 3 ( $P_0 = 4.12 \cdot 10^{-8}$  к/см<sup>2</sup>,  $\kappa = 2$ ,  $\tau = \theta = 1.65$  мксек) и кривой 4 ( $P_0 = 1.24 \cdot 10^{-7}$  к/см<sup>2</sup>,  $\kappa = 2$ ,  $\tau = 0.04$  мксек,  $\theta = 1.65$  мксек).

На фиг. 3 приводятся: экспериментальная кривая 1, полученная в опыте с KBr при давлении на фронте волны 78 кбар,  $T = 1.31$  мксек; расчетная кривая 2, полученная суперпозицией кривой 3 ( $P_0 = 1.97 \cdot 10^{-8}$  к/см<sup>2</sup>,  $\kappa = 2$ ,  $\tau = 0.65$  мксек,  $\theta = 6.5$  мксек) и кривой 4 ( $P_0 = -0.98 \cdot 10^{-8}$  к/см<sup>2</sup>,  $\kappa = 2$ ,  $\tau = \theta = 6.5$  мксек).

Поступила 18 IX 1969

#### ЛИТЕРАТУРА

- Allison F. E. Shock-induced polarization in plastics. I. Theory. J. Appl. Phys., 1965, vol. 36, No. 7.
- Иванов А. Г., Новицкий Е. З. Задача о двойном слое в ударно сжатых диэлектриках. ПМТФ, 1966, № 5.
- Зельдович Я. Б. Э. д. с., возникающая при распространении ударной волны по диэлектрику. ЖЭТФ, 1967, т. 53, вып. 1.
- Иванов А. Г., Лисицын Ю. В., Новицкий Е. З. Задача о поляризации диэлектриков при ударном нагружении. ЖЭТФ, 1968, т. 54, вып. 1.
- Зайдель Р. М. Определение режима электрической релаксации при ударном нагружении. ЖЭТФ, 1968, т. 54, вып. 4.
- Якушев В. В., Розанов О. К., Дремин А. Н. Об измерении времени релаксации поляризации в ударной волне. ЖЭТФ, 1968, т. 54, вып. 2.